

- [5] Takashashi Y., Kowashima M., Horikoshi J. - Jap. J. Appl. Phys., 1980, v. 19, N 4, p. 693-701.
- [6] Клейнман Л. Туннелирование в полупроводниках с участием фононов. В кн.: Туннельные явления в твердых телах (пер. с англ.), М.: Мир, 1973, с. 175-186.
- [7] Корольков В.И., Михайлова М.П. - ФТП, 1983, т. 17, в. 4, с. 569-582.

Физико-технический
институт им. А.Ф. Иоффе
АН СССР, Ленинград

Поступило в Редакцию
15 февраля 1988 г.

Письма в ЖТФ, том 14, вып. 11

12 июня 1988 г.

ПРЕОБРАЗОВАНИЕ ЧАСТОТЫ
НА ОДНОЧНЫХ И ПОСЛЕДОВАТЕЛЬНО
СОЕДИНЕННЫХ ТОРЦЕВЫХ
ДЖОЗЕФСОНОВСКИХ ПЕРЕХОДАХ

А.Л. Гудков, В.Н. Лаптев,
С.Б. Розанов

1. В супергетеродинных приемниках миллиметрового (ММ) и субмиллиметрового (СММ) диапазонов для повышения чувствительности используются охлаждаемые преобразователи частоты [1]. Преобразователи на джозефсоновских переходах (ДП) с внешним гетеродином способны, в принципе, усиливать сигнал, переносимый на промежуточную частоту (ПЧ), при собственной однополосной шумовой температуре около 20 Т, где Т - физическая температура ДП [2, 3]. Использование цепочек из одинаковых последовательно соединенных ДП расширяет динамический диапазон приемника. В данной работе изложены результаты исследования преобразователя частоты диапазона 2.2 мм с внешним гетеродином на торцевых ДП из тугоплавких материалов и цепочках из них. Ранее такие ДП и цепочки использовались в детекторном приемнике диапазона 4-8 мм [4, 5]. Работы по преобразователям частоты с внешним гетеродином на торцевых ДП авторам неизвестны.

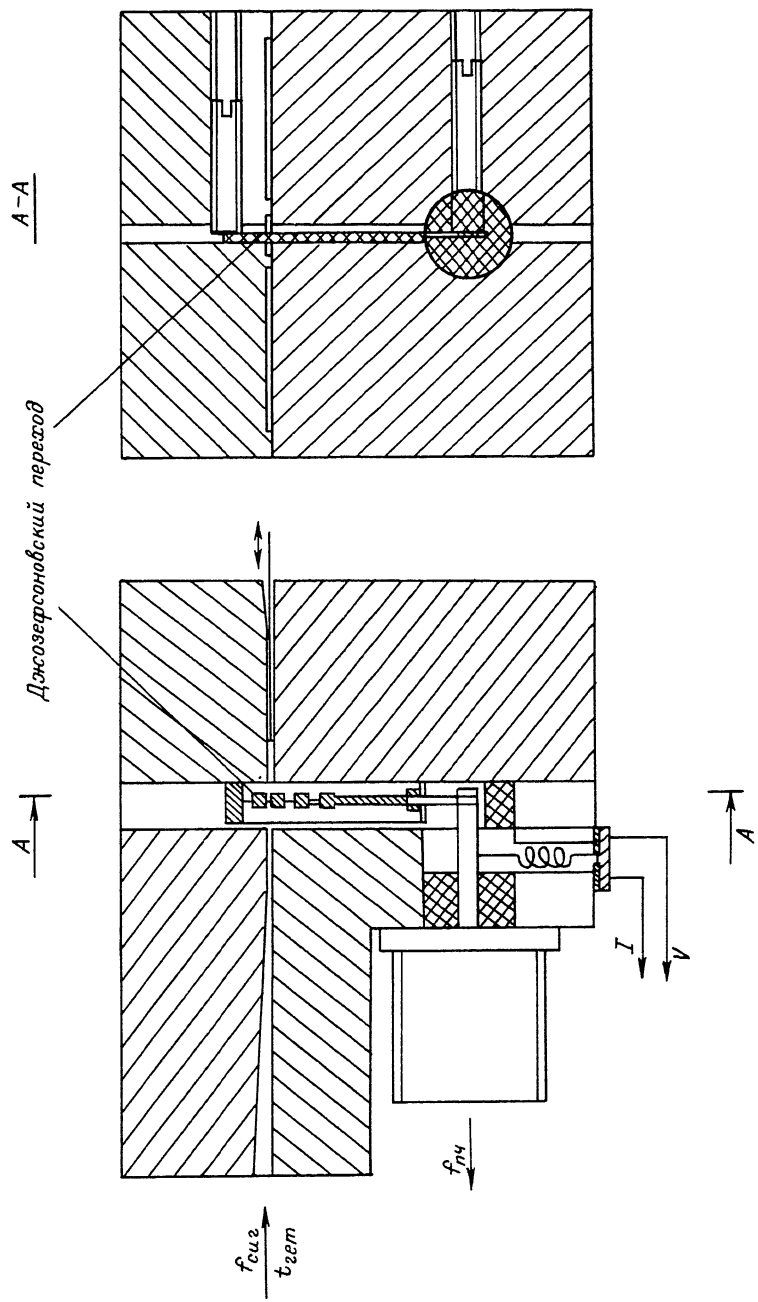
2. Торцевые ДП с непосредственной проводимостью $Nb/\alpha-Si/Nb$ с площадью $S \leq 1 \text{ мкм}^2$ и цепочки длиной 0.2 мм из 11 одинаковых ДП изготавливались на кремниевых пластинках толщиной $t = 0.4 \text{ мм}$ по методике, подробно описанной в [5, 6]. Значения нормального сопротивления ДП R_N и их характеристического напряжения $V_c = I_c R_N$ (I_c - критический ток) указаны в таблице. Емкость переходов $C \leq 0.01 \text{ пФ}$, так что вольт-амперные характеристики (ВАХ) как одиночных ДП, так и цепочек не имеют гистерезиса. ДП данного типа не меняют параметров при многократных охлаждениях до ге-

N	R_N , Ом	$t_{\text{ММ}}$	$\nu_c, \text{МВ}$	$L_{\text{нп}}, \text{дБ}$ $D SB (SSB)$	$T_{\text{нп}}, \text{К}$ $DSB (SSB)$	$\rho_{\text{ст}, \text{нБт}}$ $DSB (SSB)$	$\rho_{\text{нас}, \text{нБт}}$	ξ
I	66	0.4	0.49	7.1	730	19x		0.96
I	47	0.4	0.24	12.1	670	100x		0.96
I	30	0.4	0.42	12.3(13.8)	580(940)	15(8.2)	-	0.97
I		0.15	0.45	8.7(9.9)	340(530)	4.2(2.2)	0.5	0.98
I	51	0.4	0.53	12.2	640	5.2	3.6	1
I		0.15	0.46	7.6(11.1)	790(2800)	2.3(1.7)	-	0.99
I	49	0.4	0.49	12.2	750	19	-	1
I	41	0.4	0.44	14.0	1910	40	-	1
I		0.10	0.41	7.1(11.9)	380(1420)	3.3(3.3)	-	0.94
II	62	0.4	9.2	12.1	2500	1.4·10 ⁴	5·10 ²	0.77
II	118	0.4	5.9	8.5	230	2.3·10 ³	-	0.56
II		0.15	5.7	10.9	3000	1.9·10 ³	-	0.55
II	149	0.4	7.3	6.8	2100	2.6·10 ³	-	0.82
II		0.15	7.8	4.0(7.0)	2100(4500)	2.9·10 ²	5.2	0.51
II	108	0.4	7.0	11.9	960	4.5·10 ³	3.1·10 ²	0.64

$f_{\text{ст}} = 138.5 \text{ Гц}$, ПЧ
 $f_{\text{нп}} = 1.5\text{--}1.8 \text{ Гц}$.

Приемные. Частота гетеродина $f_{\text{ст}} = 3.4\text{--}3.9 \text{ Гц}$; в случаях $x - f_{\text{ст}} =$
 $= 136.3 \text{ Гц}$, $f_{\text{нп}} = 1.5\text{--}1.8 \text{ Гц}$.

Рис. 1. Конструкция преобразователя частоты.



лиевых температур и длительном хранении на воздухе. Пластины с ДП разрезались на элементы с размерами $8 \times 0.8 \text{ мм}^2$, содержащие один ДП или цепочку ДП и микрополосковые фильтры низких частот.

3. Подложки с ДП устанавливались в преобразователе частоты в Е - плоскости пониженного волновода сечением $1.6 \times 0.2 \text{ мм}^2$ (см. рис. 1). Настройка преобразователя производилась контактным поршнем. Сигнал и гетеродин подводились к преобразователю, находившемуся в криостате при температуре $T = 4.2 \text{ К}$, по лучеводу $\varnothing 20 \text{ мм}$. Источниками сигнала служили поглощающие нагрузки при температурах $T_o = 294 \text{ К}$ и $T_N = 77 \text{ К}$ и лампа обратной волны (ЛОВ) ОВ-68. Мощность гетеродина (генератор Г4-142 с удвоителем частоты) вводилась в лучевод с помощью диэлектрического делителя луча. При однополосных измерениях использовался квазиоптический фильтр [7], настраивавшийся на частоту сигнала $f_{\text{сиг}}^+ = f_{\text{гет}} + f_{\text{ПЧ}}$, который подавлял сигнал с частотой $f_{\text{сиг}}^- = f_{\text{гет}} - f_{\text{ПЧ}}$ более, чем на 13 дБ. Потери сигнала во входном тракте $L_{\text{вх}} = 4.2 \text{ дБ}$ (4.9 дБ с фильтром), эффективная температура тракта $\bar{T}_{\text{вх}} = 229 \text{ К}$ (235 К с фильтром). Сигнал на выходе преобразователя регистрировался измерительным приемником (ИП) с чувствительностью 0.1 К. Затухание в кабеле ПЧ $L_{\text{вых}} = 1.1 \text{ дБ}$, эффективная температура кабеля $\bar{T}_{\text{вых}} = 170 \text{ К}$.

4. Если перед лучеводом установлена поглощающая нагрузка с температурой $T_{\text{сиг}}$, то шумовая температура на входе ИП

$$T_{\text{ПЧ}} = \frac{T_{\text{сиг}} \xi}{L_{\text{вх}} L_{\text{пр}} L_{\text{вых}}} + \frac{\bar{T}_{\text{вх}} \xi}{L_{\text{пр}} L_{\text{вых}}} \left(1 - \frac{1}{L_{\text{вх}}} \right) + \frac{T_{\text{пр}} \xi}{L_{\text{пр}} L_{\text{вых}}} + \frac{\bar{T}_{\text{вых}} \left(1 - \frac{1}{L_{\text{вых}}} \right) \left(1 + \frac{1 - \xi}{L_{\text{вых}}} \right)}{L_{\text{вых}}^2} + \frac{T_o (1 - \xi)}{L_{\text{вых}}^2}; \quad T_{\text{сиг}} = T_o; \quad T_N. \quad (1)$$

Здесь $L_{\text{пр}}$ и $T_{\text{пр}}$ - потери преобразования и шумовая температура преобразователя частоты с учетом коэффициента рассогласования

$$\xi = \frac{4R_d R_{\text{ПЧ}}}{(R_d + R_{\text{ПЧ}})^2}, \quad \text{где } R_d = \frac{dV}{dT} \Big|_{\rho_{\text{гет}}}, \quad R_{\text{ПЧ}} = 50 \text{ Ом. Пон-}$$

следний член в (1) представляет собой отраженное от ДП при $\xi < 1$ тепловое излучение находящейся при температуре T_o нагрузки в нерабочем плече циркулятора на входе ИП. Этот член дает острые пики на зависимостях $T_{\text{ПЧ}}(V)$ (рис. 2, б, д), соответствующие вертикальным джозефсоновским ступенькам тока на динамиче-

ских ВАХ при напряжениях $V_n = \frac{hf_{\text{гет}} N}{2e} n; n = 0, 1, 2, \dots$ (рис. 2, а, г). Здесь N - число ДП в цепочке. Из рис. 2, в, е видно, что в соответствии с [2, 3] эффективность преобразования сигнала на ПЧ максимальна ($L_{\text{пр}}$ минимально) при напряжении $0 < V_{\text{опт}} < V_1$. На рис. 2, в кроме джозефсоновских пиков преобразования сигнала видны два слабых квазичастичных пика выше и ниже напряжения

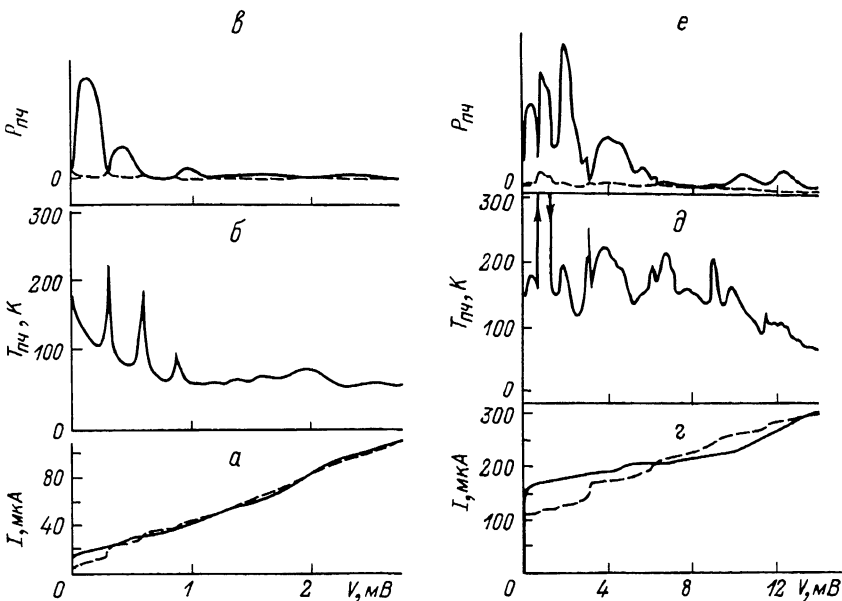


Рис. 2. Примеры экспериментальных зависимостей для преобразователя частоты на одиночном ДП (а-в) и цепочке из II ДП (г-е): а, г - ВАХ $I(V)$ при выключенном (сплошные кривые) и включенном (пунктирные кривые) гетеродине; б, д - шумовая температура на входе ИП $T_{n4}(V)$ при оптимальной мощности гетеродина ($P_{het} = 4.2$ нВт для $N = 1$ и $P_{het} = 14$ мкВт для $N = II$); в, е - мощность на выходе преобразователя при постоянной мощности сигнала от ЛОВ (сплошные кривые, $P_{sig} = 0.22$ нВт для $N = 1$ и $P_{sig} = 0.022$ нВт для $N = II$) и при $P_{sig} = 0$ (пунктирные кривые).

щели $V_g = 2$ мВ. Нерегулярный ход зависимостей $T_{n4}(V)$ и $P_{n4}(V)$ для цепочки ДП между ступеньками тока связан с неполной синхронизацией переходов.

Значение L_{pr} при $V = V_{opt}$ определялось по величине отклика ΔT_{n4} на входе ИП при перепаде температуры источника сигнала $\Delta T_{sig} = T_0 - T_N$. Затем из (1) вычислялась T_{pr} . Двухполосные (DSB) и однополосные (SSB) значения L_{pr} и T_{pr} приведены в таблице, лучшие результаты подчеркнуты. Ошибки не превосходят ± 1 дБ для L_{pr} и $\pm 30\%$ для T_{pr} . Значения L_{pr} при $N = I$ и $N = II$ в целом примерно одинаковы, но уровень шума цепочек, как правило, выше. То, что L_{pr} и T_{pr} при DSB и SSB приеме отличаются не точно в 2 раза (на 3 дБ) связано, во-первых, с возможным преобразованием на ПЧ шумового сигнала на частотах $f_{sigm}^{\pm} = m f_{het} \pm f_{n4}$, $m = 2, 3, 4, \dots$ и, во-вторых, с изменением импедансов внешней цепи для ДП в преобразователе на частотах $m f_{het}$ и f_{sigm}^{\pm} ($m \geq 1$) при установке режекторного

фильтра. Последнее подтверждается различием значений мощности гетеродина P_{ret} при **DSB** и **SSB** измерениях (см. таблицу). Дополнительные измерения, проведенные для нескольких джозефсоновских элементов при толщине подложки $t = 0.1\text{--}0.15$ мм, показали существенное (до 7 дБ) уменьшение L_{pr} и снижение P_{ret} для всех одиночных ДП и одной из цепочек. Это свидетельствует о значительном поглощении излучения в кремнии. Параметры преобразователя, вероятно, могут быть улучшены при использовании подложек из плавленого кварца.

5. Известно, что цепочка из N одинаковых ДП с таким же полным сопротивлением, как у одиночного ДП, который она заменяет в преобразователе, требует в N^2 раз большую мощность гетеродина и позволяет увеличить максимальную мощность сигнала (мощность насыщения) P_{has} также в N^2 раз [8]. Критерием насыщения мы считали увеличение L_{pr} на 10% (0.4 дБ) при возрастании мощности сигнала от ЛОВ. Как видно из таблицы, в большинстве случаев для P_{ret} и P_{has} "закон N^2 " выполняется с точностью до коэффициента порядка единицы (с учетом различий в R_N и L_{pr}) и $\frac{P_{has}}{P_{ret}} = 0.02\text{--}0.12$.

6. Полученные результаты показывают возможность использования торцевых ДП из тугоплавких материалов и цепочек ДП в преобразователях частоты ММ диапазона. Преобразователи с внешним гетеродином на торцевых ДП, площадь которых может быть сделана меньше 0.1 мкм², представляются перспективными при продвижении в СММ диапазон.

Л и т е р а т у р а

- [1] Кошелец В.П., Овсянников Г.А. - Зарубеж. радиоэлектрон., 1983, № 6, с. 31-50.
- [2] Claassen J.H., Richards P.L. - J. Appl. Phys., 1978, v. 49, N 7, p. 4117-4129.
- [3] Taur Y. - IEEE Trans. Electron Dev., 1980, v. ED-27, N 10, p. 1921-1928.
- [4] Гудков А.Л., Куликов В.А., Лаптев В.Н., Матвеец Л.В., Махов В.И. - Письма в ЖТФ, 1986, т. 12, в. 9, с. 527-533.
- [5] Гудков А.Л., Куликов В.А., Лаптев В.Н., Матвеец Л.В., Махов В.И. - Письма в ЖТФ, 1987, т. 13, в. 18, с. 1109-1112.
- [6] Гудков А.Л., Лихарев К.К., Махов В.И. - Письма в ЖТФ, 1985, т. 11, в. 23, с. 1423-1428.
- [7] Розанов С.Б. В сб.: Тезисы докладов XVII Всесоюзной конференции "Радиоастрономическая аппаратура". Ереван, 10-12 октября 1985 г. Ереван, 1985, с. 169-170.

[8] Лихарев К.К. Введение в динамику джозефсоновских переходов, М.: Наука, 1985. 320 с.

Физический институт
им. П.И. Лебедева
АН СССР, Москва

Поступило в Редакцию
12 марта 1988 г.

Письма в ЖТФ, том 14, вып. 11

12 июня 1988 г.

ОПТИЧЕСКИЙ АНАЛИЗАТОР СПЕКТРА
ИНТЕРФЕРЕНЦИОННОГО ТИПА
С КАЧАЮЩИМСЯ ЗЕРКАЛОМ

Н.А. Есепкина, С.Ю. Бондарцев,
А.П. Лавров, К.В. Морозов,
А.В. Никандров, М.Р. Шубич

Для спектрального анализа сигналов с высоким частотным разрешением в оптике предложено большое число методов и устройств, причем в последнее время большое внимание исследователей привлекают акустооптические анализаторы спектра с временным интегрированием [1, 2].

В данной статье рассматривается оптический анализатор спектра (ОАС) с временным интегрированием интерференционного типа, в котором для создания сетки опорных временных частот используется не частный сдвиг дифрагированного на акустооптическом модуляторе светового пучка, а линейный фазовый сдвиг, создаваемый сканирующим дефлектором, в качестве которого используется подвижное зеркало [3]. Очевидными преимуществами рассматриваемого ОАС являются компактность и простота оптической схемы и управляющих электронных блоков.

Структурная схема рассматриваемого ОАС представлена на рис. 1. В этой схеме коллимированный световой пучок полупроводникового лазера (ПЛ), формируемый с помощью формирователя (Φ), делится на два пучка делителем (Δ). Один из этих пучков используется для контроля интенсивности излучения ПЛ (линза L_1 и фотодиод ΦD), а второй — для реализации собственно спектроанализатора. Этот пучок отражается от подвижного (качающегося вокруг оси O) зеркала дефлектора (Π_3) и попадает на жесткий интерферометр (I), состоящий из делительного кубика, прямоугольной призмы и неподвижного зеркала. Линза L_2 формирует в выходной плоскости ($B\Gamma$) спектроанализатора изображение апертуры подвижного зеркала с коэффициентом увеличения β .

Пусть дефлектор управляется таким образом, что $\sin \theta = \alpha t$ в течение некоторого интервала времени $[0, T]$. Здесь θ — угол отражения от подвижного зеркала по отношению к падающему пучку.